

土木構造物の耐震安全性について

筑波大学工学部 正員 山田善一
同上 正員 ○竹宮宏和

§1. まえがき

地震応答解析に基づく土木構造物の耐震安全性評価は、次の事項を経なければならぬ。

- 1) 地震現象の適正な把握とその解析的表現
- 2) 構造物系の動力特性の解明
- 3) 構造物の応答解析と構造物の使用期間を通じての安全性評価

この手順を流れ図に表現してみる。以下のようにある。

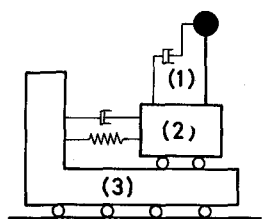
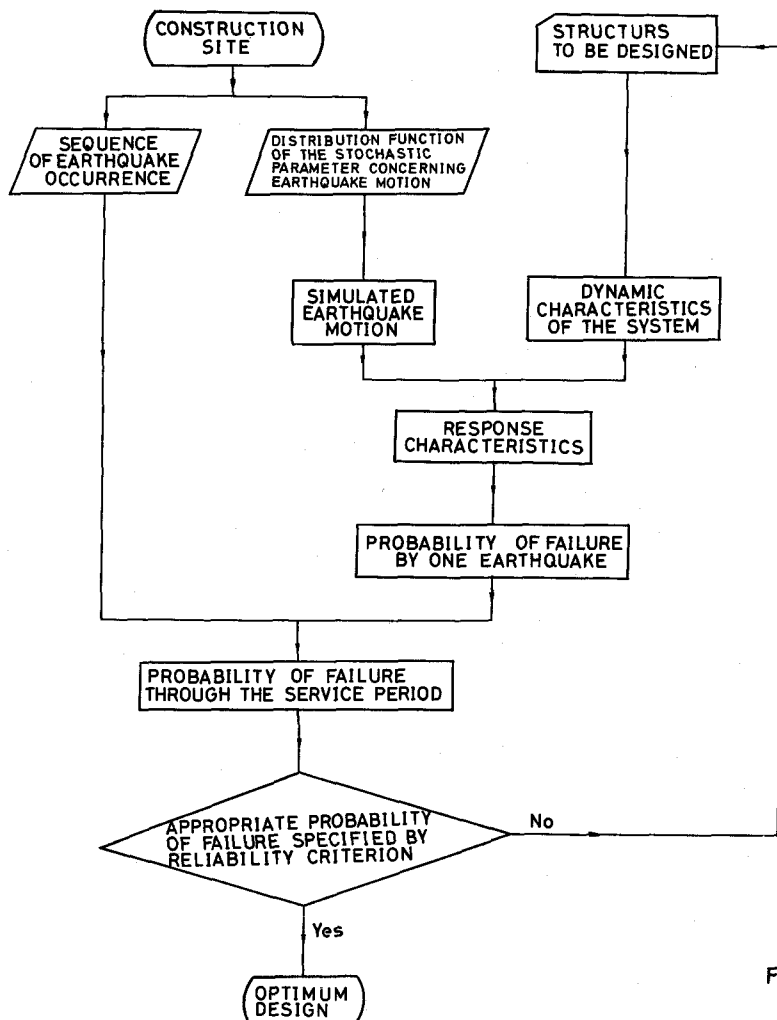


Fig. 1 Idealized system of foundation layer and structure

今回、上の流れ図に従って、Fig. 1 に示す構造系について、耐震安全性評価における応答 Barrier に関する criterion をスペクトルの形で導き出していく。

- (1) STRUCTURE
- (2) FOUNDATION LAYER
- (3) BASE ROCK

§2. 地震動のシミュレーション

1つの地震発生によって生じた地震動は、多くの確率パラメータあるいは、ある地域における確定期的パラメータを含み、不規則性を呈している。これまで、多くの人々により、非定常確率過程として、その表現が試みられて来ている。そのうちでも、V.V. Bolotin は規則的に地震動の非定常確率過程を次式で提案している事は知り得ている。²⁾

$$f(t) = \sum_{\nu} k_{\nu}(\alpha_1, \alpha_2, \dots, \alpha_r; t) g_{\nu}(\alpha_{r+1}, \dots, \alpha_n; t) \quad (1)$$

(1)式は、非定常確率過程の地震動が、定常確率過程 $g(t)$ と、更にこれを非定常性にすら確定関数 γ としている。 $t=3$ 秒、解析上簡単で、しかも地震動の本質を出来ては失さない表現として、本文では(1)式のパラメータを5つに限定してみる。すなはち

$$\dot{f}(t) = \gamma(\alpha_1, \alpha_2; t) g(\alpha_3, \alpha_4, \alpha_5; t) \quad (2)$$

さて、確定関数 $\gamma(t)$ は指數関数 $\gamma(t) = (\bar{e}^{-\lambda t} - \bar{e}^{-\mu t}) H(t)$ (3)

とし、実際の地震記録の色絡模からパラメータを決定した。定常確率過程 $g(t)$ には Fig. 1 の地震系を仮定した。従って、その自己相関関数は

$$E\{g(t)g(t+\tau)\} = \frac{1}{2\pi} \int_{-\infty}^{\infty} S_g(w) e^{iwt} dw \quad (4)$$

ここで $S_g(w)$ は $g(t)$ のパワー・スペクトル密度で、地震系の運動方程式

$$\ddot{x}_g(t) + 2\mu_g \dot{x}_g(t) + (\omega_g^2 + \mu_g^2) x_g(t) = m(t) \quad (5)$$

より算出されるものを採用する。 ω_g, μ_g は(2)式で α_3, α_4 に相当するもので、 $m(t)$ は、基盤からの入力、ホワイトノイズで、その自己相関関数は

$$E\{m(t)m(t_2)\} = D S(t_2 - t_1) \quad (6)$$

としている。D はホワイト・ノイズ・レベルを示すもので(2)式で α_5 に相当している。以上のようにして導き出された擬似地震動の解析解は、共分散として

$$E\{f(t)f(t_2)\} = \gamma(t)\gamma(t_2) e^{-\mu_g(t_2-t_1)} \{ \mu_g(\omega_g^2 - 3\mu_g^2) \sin \omega_g|t_2-t_1| + \omega_g(\omega_g^2 + 5\mu_g^2) \cos \omega_g(t_2-t_1) \} D / 4\mu_g \omega_g$$

シミュレーションに使用したパラメータは Table 1 に示す。定常確率過程 $g(t)$ の4つ

自己相関関数を Fig. 2 に、擬似地震動の入力分散を Fig. 3 に示す。

Table 1 Values used for the simulation of earthquake motion

Values for parameters	α_1	α_2	ω_g	μ_g
Pseudo-earthq. motion				
Type 1	0.25	0.50	12.3	3.86
Type 2	0.25	0.50	10.88	6.28

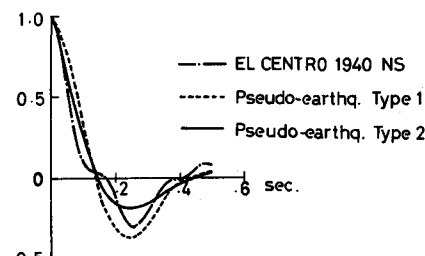


Fig. 2 Auto-correlation function of $g(t)$

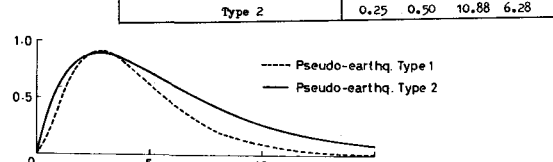


Fig. 3 Standard deviation of input acceleration

§3. 擬似地震動による構造物応答

構造物の応答解析には、複数回にわたり種の仮定を設けてモード分解をなし、各モードの効果を重ね合わせ応答評価をするのが一般的とされる方法である。そこで、各モードにあたり1自由度系について応答解析を行なう。運動方程式は、最終的には

$$\ddot{q}(t) + 2\zeta \dot{q}(t) + \omega_0^2 q(t) = -f(t) \quad (8)$$

と表わされる。式(8)の応答解は常に零積分で

$$g(t) = \int_0^t h(t-\tau) f(\tau) d\tau \quad (9) \quad \text{但し } h(t) = \frac{1}{\omega_d} e^{i\omega_d t} \sin \omega_d t, \quad \omega_d = \omega_0 \sqrt{1 - S^2}$$

同様に、速度応答は

$$\dot{g}(t) = \int_0^t \dot{h}(t-\tau) f(\tau) d\tau \quad (10) \quad \text{但し } \dot{h}(t) = \frac{1}{\omega_d} e^{i\omega_d t} (\omega_d \cos \omega_d t - i \sin \omega_d t)$$

(9), (10) 式は、外力が確率的のみ意味を有するものであるから、応答緒量も分散あるいは共分散とて評価される得る。これらをまとめて次のように表現する。

$$\alpha^2(t; l, m) = \int_0^t \int_l^m \frac{d^2}{dt^2} h(t-\tau_1) \frac{d^2}{dt^2} h(t-\tau_2) E\{f(\tau_1) f(\tau_2)\} d\tau_1 d\tau_2$$

$\therefore t, l, m$ は $1 \leq l \leq 3, n \leq 0$ を揃う。演算結果は

位応答の分散値

$$\alpha^2(t=0, 0) = \frac{D e^{-2\omega_d t}}{4 \omega_0 \omega_d \omega_d^2} \sum_{i=1}^2 \sum_{j=1}^2 \{C1(i, j) I(i, j) + C2(i, j) J(i, j)\} \quad (11)$$

位と速度応答の共分散値は

$$\begin{aligned} \alpha^2(t=0, 1) &= \frac{D e^{-2\omega_d t}}{4 \omega_0 \omega_d \omega_d^2} \left[\omega_d \sum_{i=1}^2 \sum_{j=1}^2 \{C1(i, j) K(i, j) + C2(i, j) L(i, j)\} \right. \\ &\quad \left. - \epsilon \sum_{i=1}^2 \sum_{j=1}^2 \{C1(i, j) I(i, j) + C2(i, j) J(i, j)\} \right] \end{aligned} \quad (12)$$

速度応答の分散値は

$$\begin{aligned} \alpha^2(t=1, 1) &= \frac{D e^{-2\omega_d t}}{4 \omega_0 \omega_d \omega_d^2} \left[\omega_d^2 \sum_{i=1}^2 \sum_{j=1}^2 \{C1(i, j) M(i, j) + C2(i, j) N(i, j)\} \right. \\ &\quad \left. - 2\omega_d \sum_{i=1}^2 \sum_{j=1}^2 \{C1(i, j) K(i, j) + C2(i, j) L(i, j)\} \right. \\ &\quad \left. + \epsilon^2 \sum_{i=1}^2 \sum_{j=1}^2 \{C1(i, j) I(i, j) + C2(i, j) J(i, j)\} \right] \end{aligned} \quad (13)$$

$\therefore t$

$$C1(1, 1) = -C1(1, 2) = -C1(2, 1) = C1(2, 2) = \mu_g (\omega_g^2 - 3\mu_g^2)$$

$$C2(1, 1) = -C2(1, 2) = -C2(2, 1) = C2(2, 2) = \omega_g (\omega_g^2 + 5\mu_g^2)$$

$$I(i, j) = \int_0^t \int_0^t e^{i(\beta_i T_1 + \beta_j T_2 - \mu_g T_1 - T_2)} \sin \omega_d(t-T_1) \sin \omega_d(t-T_2) |f(t_1) f(t_2)| dt_1 dt_2$$

$$J(i, j) = \int_0^t \int_0^t e^{i(\beta_i T_1 + \beta_j T_2 - \mu_g T_1 - T_2)} \sin \omega_d(t-T_1) \sin \omega_d(t-T_2) \cos \omega_d(t-T_1) \cos \omega_d(t-T_2) dt_1 dt_2$$

$$K(i, j) = \int_0^t \int_0^t e^{i(\beta_i T_1 + \beta_j T_2 - \mu_g T_1 - T_2)} \sin \omega_d(t-T_1) \cos \omega_d(t-T_2) \sin \omega_d(t-T_1) \cos \omega_d(t-T_2) dt_1 dt_2$$

$$L(i, j) = \int_0^t \int_0^t e^{i(\beta_i T_1 + \beta_j T_2 - \mu_g T_1 - T_2)} \sin \omega_d(t-T_1) \cos \omega_d(t-T_2) \cos \omega_d(t-T_1) \cos \omega_d(t-T_2) dt_1 dt_2$$

$$M(i, j) = \int_0^t \int_0^t e^{i(\beta_i T_1 + \beta_j T_2 - \mu_g T_1 - T_2)} \cos \omega_d(t-T_1) \cos \omega_d(t-T_2) \sin \omega_d(t-T_1) \sin \omega_d(t-T_2) dt_1 dt_2$$

$$N(i, j) = \int_0^t \int_0^t e^{i(\beta_i T_1 + \beta_j T_2 - \mu_g T_1 - T_2)} \cos \omega_d(t-T_1) \cos \omega_d(t-T_2) \cos \omega_d(t-T_1) \cos \omega_d(t-T_2) dt_1 dt_2$$

一方、位と速度応答分散値の stationary asymptote は

$$\alpha^2(\infty; 0, 0) = \frac{\pi D S_d(\omega_0) (\omega_1)^2}{4 \epsilon \omega_0^2} \quad (14)$$

$$\alpha^2(\infty; 1, 1) = \frac{\pi D S_d(\omega_0) (\omega_1)^2}{4 \epsilon} \quad (15)$$

Fig.4-15 それこれらの応答緒量を示したものである。

3.4 構造物の耐震安全性評価

地震外力を対する構造物の破壊 first-excitation failure を定義し、複雑 Barrier に対する応答超過確率を算出し、first-occurrence-time density の破壊確率を求めた。

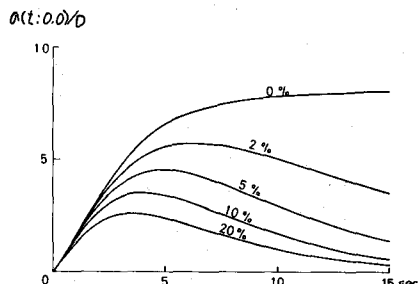


Fig. 4-a Standard deviation of displacement response pseudo-earthq. Type 2 natural freq. $\omega = 4.0$ rad/sec.

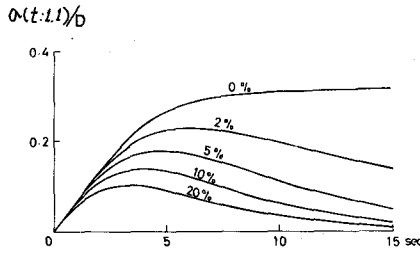


Fig. 4-b Standard deviation of velocity response pseudo-earthq. Type 2 natural freq. $\omega = 4.0$ rad/sec.

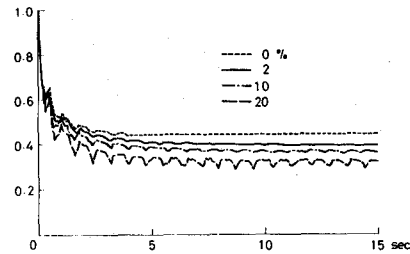


Fig. 4-c Correlation function $\rho(t)$ of displacement and velocity pseudo-earthq. Type 2 natural freq. $\omega = 4.0$ rad/sec.

光す。規準 Barrier は (14) 式 (あるいは (15) 式) の stationary asymptote の倍に達する threshold crossing の理論から、次式が得られる。

$$E[N_+(B,t)] = \frac{1}{2\pi} \frac{\partial(t;1,1)}{\partial(t;0,0)} \exp\left[-\frac{1}{2}\left(\frac{B}{\alpha(t;0,0)}\right)^2\right] \left[\sqrt{1-\beta^2} \exp\left(-\frac{\beta^2}{2(1-\beta^2)}\left(\frac{B}{\alpha(t;0,0)}\right)^2\right) + \frac{\pi}{2} \beta \left(\frac{B}{\alpha(t;0,0)}\right) \left\{ 1 + \operatorname{erf}\left(\frac{\beta}{\sqrt{2(1-\beta^2)}} \frac{B}{\alpha(t;0,0)}\right) \right\} \right] \quad (16)$$

但し $\beta = \alpha^2(t;0,1)/\alpha(t;0,0)\alpha(t;1,1)$,

(16) 式で等しい場合、 $t=1$ は、震度、速度応答の 2 次元ガウス分布を仮定した場合。 δL Barrier の大きさに応じて超過確率が非常に小さくなる場合と、first-occurrence time density が必ずしも等しい。

$$P_{FOT}(B,t) = E[N_+(B,t)] \exp\left[-\int_0^t E[N_+(B,t')] dt'\right] \quad (17)$$

従って、one duration の地震動に対する構造物の破壊確率。

$$P_f(B_1, t_T) = 2 \left[1 - \exp\left\{- \int_0^{t_T} E[N_+(B_1, t')] dt'\right\} \right] \quad (18)$$

Fig. 5 は (18) 式で算出された破壊確率を示す。

以上は、单一地震現象についての議論であるが、更に、構造物使用期間中の、換言すれば、地震起過程の時系列での破壊評価が重要である。従って、(18) 式の結果を、地震起過程に組み入れる問題を考えよう。いま、生起過程にホアソン分布を仮定すると

$$P_n(t) = \frac{(Rt)^n}{n!} e^{-Rt} \quad (19)$$

ここで、 R は地震の平均期間の逆数として求められる。(19), (18) 式より構造物の地震破壊に対する信頼性関数。

$$L_f(t) = \sum_{k=0}^{\infty} (Rt)^k e^{-Rt} (1-P_f)^k / R! = e^{-Rt} P_f \quad (20)$$

そして、使用期間を通じての構造物の破壊確率。

$$F_f(t) = 1 - L_f(t) \quad (21)$$

Fig. 6 は、上式の微分から求められた構造物の破壊率。Fig. 7 は

将来 100 年後の破壊確率をスペクトルの形で示したもの。データとして地震記録は、東京での J.M.A. 5 以上ものである。これら 2 図は、地震特性と入力の非定常性が大きく現われている。また、構造物の周期が約 0.8 sec 以上では、破壊確率が周期に逆比例で減少しているが、一般に、規準 Barrier は $L = 1.0 \sim 4/3$ が stationary asymptote を保つことは、耐震的性能を考慮すると決して珍らしくない。

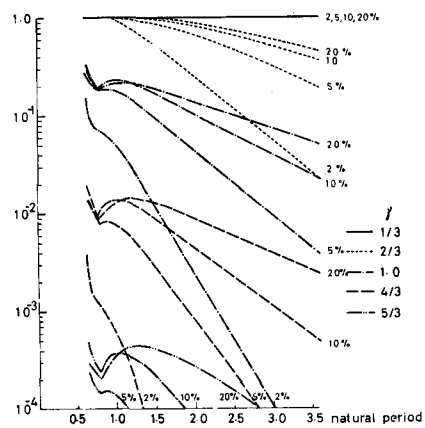


Fig. 5 Probability of failure during earthquake motion
Pseudo-earthq. Type 2

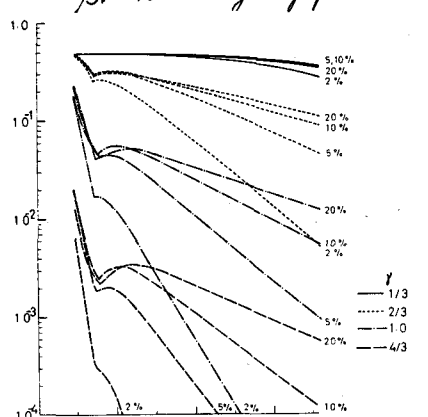


Fig. 6 Risk of failure
Pseudo-earthq. Type 2, 1/Tr=0.2419

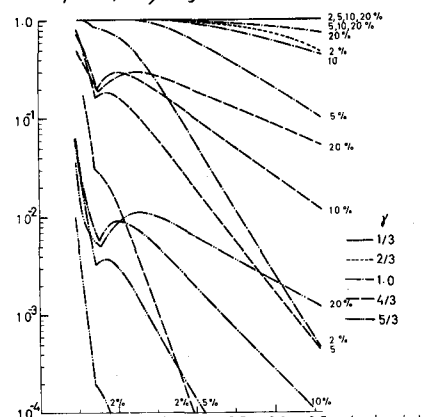


Fig. 7 Probability of failure after 100 years
pseudo-earthq. Type 1, 1/Tr=0.2419,

参考文献

- 1) Y.Yamada & H.Takemiya: Studies on the statistical safety evaluation of structures against earthquakes
(日本学会論文集第 10 号)
- 2) V.V.Bolotin: Statistical Methods in Structural Mechanics, STROIZDAT, Moscow, 1968 Chap. 7
- 3) A.M.Freudenthal, J.M. Garrelts & M.Shinozuka: The Analysis of Structural Safety, ASCE, Vol.92, No. ST1, 1966 pp267-352